

# اصلاح سطح نانوذرات سیلیکا با تیتانیم تترا ایزوپروپوکسید و بررسی خواص نورکاتالیزوری آنها

لیلا مظاهری، سید مجتبی میر عابدینی\*، مسعود اسفندی، شهلا پازکی فرد

تهران، پژوهشگاه پلیمر و پتروشیمی ایران، صندوق پستی ۱۴۹۶۵-۱۱۵

دریافت: ۹۰/۱۱/۲۳، پذیرش: ۹۱/۵/۱۱

چکیده

ابتدا نانوذرات سیلیکا با ترکیب تیتانیم تترا ایزوپروپوکسید به روش دومرحله‌ای سل - ڈل اصلاح شد. نانوذرات اصلاح شده با انجام آزمون‌های طیف‌سنجدی FTIR، تجزیه گرم‌آوردن‌سنجدی (TGA) و تجزیه عنصری EDAX ارزیابی و شناسایی شد. فعالیت نورکاتالیزوری نانوذرات اصلاح شده با بررسی مقدار تخریب نوری و بی‌رنگ‌شدن ماده رنگ‌زای رودامین B (Rh.B)، به عنوان ترکیب مدل فعال نوری در آب مقطر بررسی شد. کاهش غلظت Rh.B با انجام طیف‌سنجدی UV-Vis و مشاهدات چشمی اندازه‌گیری و ارزیابی شد. نتایج آزمون‌های طیف‌سنجدی FTIR، ایجاد پیوند شیمیایی Ti-O-Si را روی سطح نانوذرات سیلیکا تأیید کرد. نتایج آزمون TGA نشان داد، کاهش وزن نمونه اصلاح شده، به دلیل تخریب گروه‌های آلكوکسید ایجاد شده روی سطح  $\text{SiO}_2$  است. مطابق با نتایج حاصل از تجزیه عنصری EDAX، وجود عناصر کربن و تیتانیم در ساختار نمونه اصلاح شده و همچنین کاهش مقدار اکسیژن دلیلی بر انجام برهمنکنش‌های شیمیایی اصلاح سطح است. وجود کربن در ترکیب را می‌توان به وجود ترکیب ایزوپروپوکسید در ترکیب تیتاناتی مربوط دانست. بررسی‌ها نشان داد، با پیوندزنی  $\text{TiO}_2$  روی سطح نانوذرات سیلیکا، جذب در ناحیه UV آنها افزایش می‌یابد. نانوذرات سیلیکای اصلاح شده با ترکیب تیتاناتی، دارای خاصیت نورکاتالیزوری شده و در معرض تابش UV قابلیت تخریب نوری ماده رنگ‌زای Rh.B را دارند. بدین ترتیب، با کاربرد نانوذرات سیلیکای اصلاح شده در پوشش‌های پلیمری، می‌توان خواص نورکاتالیزوری را در پوشش ایجاد کرد. نانوذرات سیلیکای اصلاح شده در مقایسه با نانوذرات  $\text{TiO}_2$ ، خاصیت نورکاتالیزوری کمتری دارند، اما آسیب کمتری به ماتریس پلیمری وارد می‌کنند.

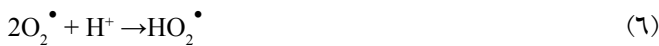
## واژه‌های کلیدی

نانوذرات سیلیکا،  
فعالیت نورکاتالیزوری،  
تیتانیم دی‌اکسید،  
اصلاح سطح،  
رودامین B

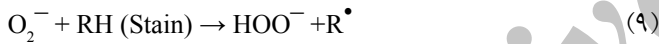
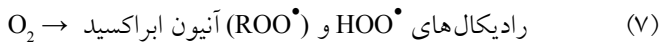
\* مسئول مکاتبات، پیام‌نگار:  
[sm.mirabedini@ippi.ac.ir](mailto:sm.mirabedini@ippi.ac.ir)

## مقدمة

محصول نهایی واکنش کاهش، رادیکال‌های هیدروکسی ( $\text{OH}^{\cdot}$ ) و هیدروپراکسی ( $\text{HOO}^{\cdot}$ ) است:



رادیکال‌های هیدروکسی اکسنده‌های قوی هستند و طی فرایند نورکاتالیزوری می‌توانند با آلاندنه‌های آلی و ذرات باکتری جذب شده روی سطح واکنش دهند. به بیان دیگر، رادیکال‌های پراکسید به سرعت به مولکول‌های آلی حمله می‌کنند و در نتیجه تمیز کردن سطح (احتراق سرد) با تبدیل مولکول‌های آلی به کربن دی‌اکسید ( $\text{CO}_2$ ) و آب ( $\text{H}_2\text{O}$ ) و سایر مواد (در حالت وجود ناجورات‌ها) در دمای معمولی انجام می‌شود:



تیتانیم دی‌اکسید (آناتاز) در تهیه سطوح غیرپلیمری نورکاتالیزور آب‌دوست کاربرد گسترده‌ای دارد. اما به دلیل داشتن خواص نورکاتالیزوری، استفاده از آنها در پوشش‌های سطح، باعث تخریب ماتریس پلیمری و بروز پدیده گچی شدن می‌شود [۸۹]. بنابراین، برای استفاده از تیتانیم دی‌اکسید (آناتاز) در پوششی پلیمری، باید به نحوی خواص نورکاتالیزوری آن را کاهش یا تنظیم کرد.

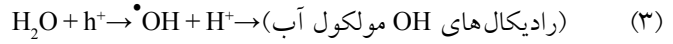
اصلاح سطح تیتانیم دی‌اکسید، به منظور کاهش تخریب ماتریس پلیمری و دست‌یابی به پوشش‌های خودتمیزشونده، اهمیت ویژه‌ای دارد. در این باره تاکنون پژوهش‌های متعدد و گسترده‌ای انجام شده است [۱۰، ۱۱]، اما هنوز تهیه پوشش‌های پلیمری خودتمیزشونده با دوام، با بهره‌گیری از سازوکار نورکاتالیزوری تیتانیم دی‌اکسید، به‌طور کامل حاصل نشده است. ایجاد لایه‌هایی مانند سیلیکا، الومینیا یا زیرکونیا روی سطح ذرات  $\text{TiO}_2$ ، با قابلیت تشکیل اکسیدهای هیدراتی را کاهش می‌دهند و رادیکال‌های هیدروکسی در اثر تابش UV، در کاهش فعالیت نورکاتالیزوری می‌تواند مؤثر باشد [۸۹].

نیمه‌رساناهای نورکاتالیزور در فرایندهای مختلف شیمیایی، ذخیره‌سازی انرژی در سلول‌های خورشیدی، تولید هیدروژن، حذف آلاندنه‌های مقاوم و سطوح خودتمیزشونده، کاربردهای عملی و فراوانی دارند [۱، ۲]. خواص نورکاتالیزوری تیتانیم دی‌اکسید ( $\text{TiO}_2$ ) و Fujishima به عنوان نیمه‌رسانا را نخستین بار در سال ۱۹۷۲ به‌طور طبیعی در سه ساختار آناتاز، همکاران کشف کردند [۳].  $\text{TiO}_2$  به‌طور طبیعی در سه ساختار آناتاز، روتیل و بروکیت در دسترس است [۴]. به دلیل پایداری ساختاری، ضریب شکست زیاد، خشی‌بودن شیمیایی، تیتانیم دی‌اکسید با ساختار روتیل به‌طور گسترش در صنایع مختلفی از قبیل پلاستیک، غذایی، دارویی، کاغذ، چاپ و پوشش‌های سطح، به عنوان رنگدانه سفید استفاده می‌شود.

وقتی تیتانیم دی‌اکسید در معرض پرتوهای UV (طول موج کمتر از ۳۸۰ nm)، با انرژی معادل یا بزرگ‌تر از انرژی شکاف نواری قرار می‌گیرد، انرژی جذب شده، موجب برانگیختن الکترونی آن می‌شود. این ترکیب، به دلیل داشتن اختلاف انرژی کم ( $3/2 \text{ eV}$ ) بین ترازهای رسانش و طرفیت، جفت الکترون-حفره (یک الکترون  $e$  در تراز رسانش و یک حفره  $h^+$  در تراز طرفیت) ایجاد می‌شود (معادله ۱) [۴-۷]:



در اغلب موارد (به‌ویژه در ساختارهای روتیل و در غیاب یک الکترون‌گیرنده) بیشتر  $\bar{e}$ ‌ها و  $h^+$ ‌ها مجدداً با هم ترکیب شده و انرژی جذب شده به شکل گرما آزاد می‌شود. اما، در برخی موارد (به‌ویژه در ساختارهای آناتاز و در حالت ترکیب‌نشدن مجدد)، بارهای ایجاد شده به سطح مهاجرت می‌کنند. در سطح،  $h^+$  (حفره‌ها) با گروه‌های هیدروکسیل (OH) متصل به سطح و مولکول‌های آب ( $\text{H}_2\text{O}$ ) جذب شده، واکنش داده و طبق معادله‌های زیر رادیکال‌های هیدروکسیل ( $\text{OH}^{\cdot}$ ) را به وجود می‌آورند:



به‌طور کلی اکسیژن هوا به عنوان پذیرنده الکترون عمل کرده (طبق معادله ۴) و با به‌تله انداختن الکترون‌ها، از ترکیب مجدد آنها جلوگیری می‌کند و منجر به تشکیل یون‌های پراکسید ( $\text{O}_2^{\cdot}$ ) و در نتیجه خشی نگهداشت ذره  $\text{TiO}_2$  از لحاظ بار الکتریکی می‌شود. این رادیکال‌ها به سرعت به مولکول‌های آلی مجاور حمله می‌کنند [۴].

## تجربی

### مواد

از نانوذرات سیلیکای آب دوست ایروسیل 200، نانوذرات تیتانیم دی اکسید ایروکسید P25، ترا ایزوپروپیل ارتوتیتانات (TTIP) با خلوص ۹۹٪، رودامین B (Rh.B)، اتانول ۹۹٪ و کلریدریک اسید (HCl) ۳۷٪ محصول شرکت Merck استفاده شد. مشخصات مواد استفاده شده اصلی در این پژوهش در جدول ۱ آمده است.

### دستگاه‌ها

طیف‌سنج FTIR Bruker مدل Vertex 80 ساخت آلمان، دستگاه Polymer Laboratories TGA مدل PL-150 ساخت شرکت INCA250 ساخت شرکت Oxford برای تجزیه عنصری EDAX، طیف‌نورسنج Shimadzu UV-Vis مدل HD3200، UV-1650-PC، دستگاه فراصوت دهی Bandelin مدل QUV-Spray ساخت آلمان و دستگاه QUV ساخت شرکت

با کاهش اندازه ذرات  $\text{TiO}_2$  (از میکرو به نانو) می‌توان با مصرف کمتر این ماده، به خواص نورکاتالیزوری مطلوب دست یافت. اما نکته قابل توجه در کاربرد نانوذرات  $\text{TiO}_2$  در ماتریس پلیمری (به ویژه پایه آبی) سختی فرایند پراکنش نانوذرات به شکل ترجیحاً تکذره‌ای است. از آنجا که نانوذرات  $\text{TiO}_2$  دارای انرژی سطحی و نسبت سطح به حجم زیاد و تمایل به ایجاد تجمع و توده هستند [۱۲]، همواره کاربرد آنها در ماتریس پلیمری چالش‌برانگیز است. بنابراین، با ایجاد خواص نورکاتالیزوری در سایر نانوذرات با قابلیت پراکنش بهتر، می‌توان به این مهم دست یافت [۱۳]. به همین منظور در این پژوهش، سطح نانوذرات سیلیکا با ترکیب تیتانیم ترا ایزوپروپوکسید برای ایجاد خاصیت نورکاتالیزوری، همراه با قابلیت پراکنش مناسب نسبت به نانوذرات تیتانیم دی اکسید اصلاح شد. سپس، شناسایی نانوذرات اصلاح شده با روش‌های متداول، خواص نورکاتالیزوری نانوذرات سیلیکای اصلاح شده، نانوذرات  $\text{TiO}_2$  اصلاح شده با ترکیب تری‌اتوکسی سیلان [۱۰]، در محلول آبی حاوی ماده رنگرای رودامین B پس از قرارگرفتن در شرایط محیطی ستایش یافته، بررسی شده است.

جدول ۱- مشخصات مواد استفاده شده.

نام شیمیایی	نام تجاری یا ساختار شیمیایی	ترکیب شیمیایی	شرکت سازنده	مشخصات
نانوذرات سیلیکا	ایروسیل 200	$\text{SiO}_2$	Evonic Degussa GmbH (آلمان)	اندازه ذرات (nm) سطح مخصوص ( $\text{m}^2/\text{g}$ ) چگالی ظاهری ( $\text{g}/\text{cm}^3$ ) تعداد هیدروکسیل بر نانومتر مربع
نانوذرات تیتانیم دی اکسید	ایروکسید P25	$\text{TiO}_2$	Evonic Degussa GmbH (آلمان)	اندازه ذرات (nm) سطح مخصوص ( $\text{m}^2/\text{g}$ ) نسبت آناتاز به روتیل
رودامین B (Rh.B)	-۶- کربوکسی فنیل)-۶- دی‌اتیل‌آمینو - ۳ - زانتنیل دی‌ان] دی‌اتیل آمینوکلرید	$\text{C}_{28}\text{H}_{31}\text{C}_1\text{N}_2\text{O}_3$	Ciba Geigy	پودر قرمز مایل به بنفش انحلال‌پذیری در آب (g/L) وزن مولکولی ( $M_w$ ) دماهی تجزیه (°C)
ترا ایزوپروپیل ارتوتیتانات		$[(\text{CH}_3)_2\text{CHO}]_4\text{Ti}$	Sigma-Aldrich	وزن مولکولی ( $M_w$ ) چگالی ( $\text{g}/\text{cm}^3$ ) دماهی ذوب (°C) دماهی جوش (°C) خلوص (%)

سوکسله شد و در نهایت با قراردادن درون گرمخانه خلاً با دمای  $80^{\circ}\text{C}$  به مدت ۲۴ h خشک شد:

$$W_{\text{TTIP}} = (S_{\text{SiO}_2} \times W_{\text{SiO}_2} \times M_{\text{TTIP}} \times N_{\text{OH}} \times 10^{18}) / N_A \quad (11)$$

$W_{\text{TTIP}}$  و  $M_{\text{TTIP}}$  به ترتیب وزن جرمی و وزن مولکولی TTIP و  $S_{\text{SiO}_2}$  به ترتیب وزن جرمی و مساحت سطح نانوذرات سیلیکا و  $N_{\text{OH}}$  تعداد گروههای OH است.

**بررسی فعالیت نورکاتالیزوری نانوذرات آماده‌سازی شده**  
 فعالیت نورکاتالیزوری نمونه‌های آزمون، با بررسی تخریب ماده رنگزای Rh.B در معرض تابش پرتوهای UV و در زمان‌های مختلف بررسی شد. برای جلوگیری از جذب نور (بهویژه در ناحیه UV) به وسیله نانوذرات اطراف ظروف حاوی پراکنش‌های نانوذرات با ورق آلومینیمی کاملاً پوشانده شد. سپس، پراکنش‌های کلوویدی تهیه شده هم‌زمان در معرض تابش UV در دستگاه QUV قرار گرفته و در محدوده‌های زمانی ۳۰ تا ۷۲۰ min از شروع تابش UV از آنها تصویربرداری شد. از دستگاه QUV با لامپ‌های UVA با طول موج ۳۶۰ nm و توان  $0.89 \text{ W.m}^{-2}$  در دمای  $45^{\circ}\text{C}$  استفاده شد. افزون بر این، در زمان‌های مختلف از پراکنش‌های مختلف نمونه‌برداری شده و تغییرات محورهای رنگی Rh.B در اثر تابش UV بررسی شد. در پایان زمان پرتودهی نیز نانوذرات موجود در پراکنش به وسیله دستگاه UV-Vis محلول‌های نهایی با استفاده از طیف‌نورسنج در محدوده عدد موجی ۷۰۰-۲۰۰ nm اندازه‌گیری شد.

## نتایج و بحث

### شناسایی نانوذرات

در شکل ۱ نتایج طیف‌سنجدی FTIR نمونه اصلاح شده ( $\text{SiO}_2\text{-TiO}_2$ ),  $\text{SiO}_2$  و ترکیب TTIP نشان داده شده است و در جدول ۲ پیک‌های شاخص جذبی آنها آمده است. پیک‌های جذبی مشاهده شده در محدوده  $1610$  و  $3400 \text{ cm}^{-1}$  مربوط به ارتعاش کششی OH را می‌توان به جذب فیزیکی آب روی سطح نانوذرات مربوط دانست [۱۰، ۱۴، ۱۵]. در طیف FTIR نمونه اصلاح شده ( $\text{SiO}_2\text{-TiO}_2$ ) علاوه بر پیک‌های مزبور، در ناحیه  $931 \text{ cm}^{-1}$  پیک کوچکی دیده می‌شود که احتمال می‌رود، مربوط به پیوند کششی نامتقارن Ti-O-Si باشد. البته

Q-Panel به کار گرفته شد.

### روش‌ها

برهم‌کنش‌های احتمالی ترکیب TTIP با گروههای هیدروکسیل سطح نانوذرات، با طیف‌سنجدی DRIFT و روش FTIR در محدوده عدد موجی  $4000-400 \text{ cm}^{-1}$  و تعداد ۲۰ پویش و حساسیت  $4 \text{ cm}^{-1}$  بررسی شد. مقدار جذب شیمیابی یا فیزیکی ترکیب TTIP روی سطح نانوذرات با آزمون گرمایش زمان‌سنجدی (TGA) در دمای  $25^{\circ}\text{C}$  تا  $700^{\circ}\text{C}$  زیر جو نیتروژن با سرعت گرمادهی  $10^{\circ}\text{C}/\text{min}$  ارزیابی شد. عناصر موجود در نانوذرات اصلاح شده، به روش تجزیه عنصری EDAX با استفاده از دستگاه Instrument به روش نقشه‌برداری نقطه‌ای (dot mapping) معین شد.

فعالیت نورکاتالیزوری نمونه‌های آزمون در معرض تابش پرتوهای UV بررسی شد. بدین منظور، جذب نوری پراکنش‌های با غلظت  $0.02 \text{ g/L}$  حاوی تیتانیم دی‌اکسید P25، سیلیکای اصلاح شده و اصلاح شده با ترکیب TTIP با طیف‌نورسنج UV-Vis در زمان‌های مختلف اندازه‌گیری شد. برای این کار،  $50 \text{ mg}$  نانوذرات در  $50 \text{ mL}$  آب مقطر حاوی  $0.025 \text{ g/L}$  ماده رنگزای Rh.B تحت فرایند فرآصوت دهی با دستگاه فرآصوت با کاونده KE-76 و توان  $70\%$  به مدت  $15 \text{ min}$  پراکنش شد.

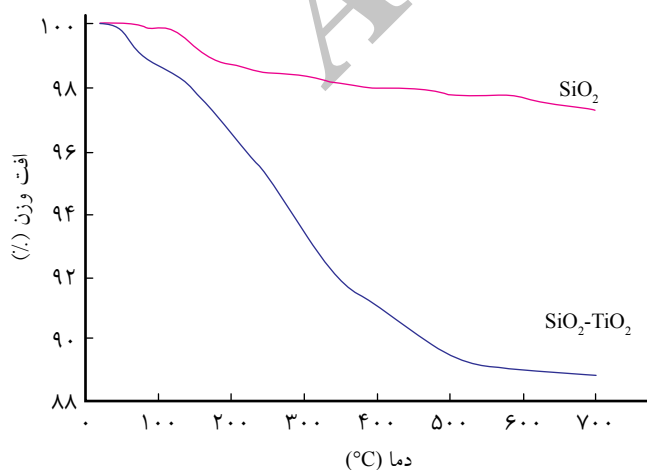
### آماده‌سازی سطح نانوذرات

ابتدا  $1 \text{ g}$  نانوذرات سیلیکا در  $30 \text{ mL}$  اتانول، با استفاده از دستگاه فرآصوت به مدت  $30 \text{ min}$  پراکنده شد. سپس،  $1/92 \text{ mL}$  آب مقطر برای آبکافت گروههای آلكوکسید TTIP به مخلوط افروده و  $1/96 \text{ mL}$  ترکیب ارتوتیتانات (به دست آمده از معادله [۱۰]) به مدت  $2 \text{ h}$  و به آرامی به پراکنش سیلیکا در مخلوط آب و الکل اضافه شد. پراکنش با افزودن چند قطره HCl در حدود  $1-2 \text{ mL}$  تنظیم شد. نسبت مولی  $\text{H}_2\text{O}_2$  و TTIP: $\text{SiO}_2$  به ترتیب  $1:16$  و  $1:4$  منظور شد. مخلوط حاصل به مدت  $1 \text{ h}$  در دمای  $80^{\circ}\text{C}$  تحت همزدن مغناطیسی قرار داده شد تا آبکافت گروههای آلكوکسید انجام شود. سپس، pH مخلوط را با افزودن محلول سدیم هیدروکسید ۲ مولار به حدود  $3-4$  (بالای نقطه ایزوالکتریک  $\text{SiO}_2$ ) رسانده و به مدت  $3 \text{ h}$  دیگر در دمای  $80^{\circ}\text{C}$  فرایند بازروانی انجام شد. محلول به دست آمده به مدت  $30 \text{ min}$  در عملیات مرکزگریز قرار گرفت و ژل (ترکیب) حاصل چند مرتبه (حداقل سه مرتبه) با اتانول شست و شو شد. برای اطمینان از شست و شوی کامل و حذف ترکیبات تیتاناتی TTIP واکنش نداده، محصول به مدت  $12 \text{ h}$  در دمای  $80^{\circ}\text{C}$  با اتانول

جدول ۲- پیکهای جذبی شاخص نمونه‌های آزمون حاصل از طیف‌سنگی FTIR [۱۰، ۱۴، ۱۵].

گروه عاملی	عدد موجی ( $\text{cm}^{-1}$ )
ارتعاش کششی Ti-O-Si	۹۳۱
ارتعاش کششی متقارن گروههای $-\text{CH}_2-$ و $-\text{CH}_3$	۲۶۲۴ و ۲۸۶۴
ارتعاش کششی نامتقارن گروههای الکیل $-\text{CH}_2-$ و $-\text{CH}_3$	۲۹۶۶
ارتعاش کششی گروههای $-\text{OH}$ و کششی نامتقارن $\text{Ti}-\text{O}$	۳۴۰۰ و ۱۶۱۰
کششی نامتقارن $\text{Si}-\text{O}-\text{Si}$	۴۰۰-۶۰۰
	۱۱۰

نشان داده شده است. می‌توان دو ناحیه کلی افت وزنی را در نتایج TGA برای نمونه‌های مختلف تحت آزمون در نظر گرفت، ناحیه اول به محدوده دمایی  $25-210^{\circ}\text{C}$  مربوط می‌شود. علت افت وزنی در این ناحیه را می‌توان به حذف یا خروج مولکول‌های آب مربوط دانست که به طور فیزیکی جذب سطحی نانوذرات سیلیکا شده‌اند. این کاهش وزن برای نمونه‌های  $\text{SiO}_2$  و  $\text{SiO}_2-\text{TiO}_2$  به ترتیب  $1/3$  و  $3/5$  درصد است. افزایش جذب آب برای نانوذرات اصلاح شده  $\text{SiO}_2-\text{TiO}_2$  می‌تواند نشان دهنده پیوند بین ترکیب تیتاناتی با سطح سیلیکا باشد (به دلیل وجود گروههای OH روی سطوح  $\text{TiO}_2$  و  $\text{SiO}_2$ ). افت وزنی دوم در محدوده دمایی  $210-700^{\circ}\text{C}$  برای نمونه‌های  $\text{SiO}_2$  و  $\text{SiO}_2-\text{TiO}_2$  به ترتیب  $1/4$  و  $7/4$  درصد مشاهده می‌شود. این کاهش وزن نمونه‌ها را می‌توان ناشی از تجزیه گروههای آلکوکسید آبکافت‌نشده موجود روی سطح  $\text{TiO}_2$  یا تراکم گروههای  $\text{TiO}_2$  (Ti-OH) هیدروکسیل روی سطح ( $\text{SiO}_2$  (Si-OH) و سطح

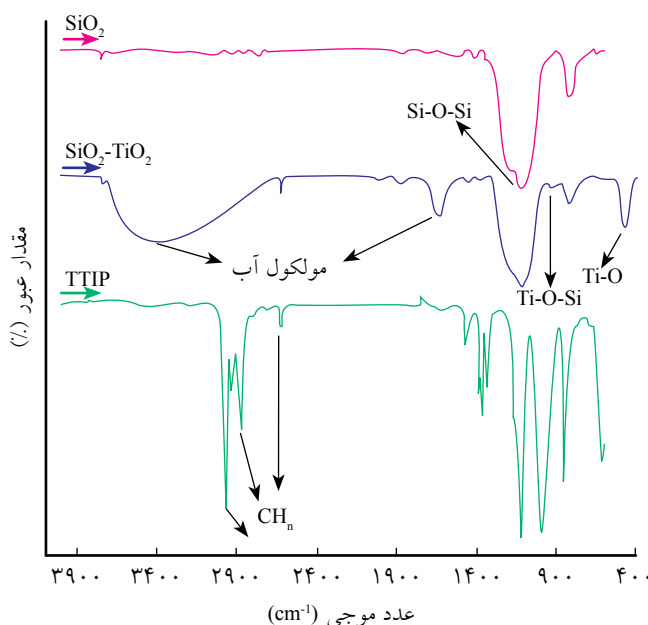


شکل ۲- گرمایزن سنجی نانوذرات  $\text{SiO}_2$  و  $\text{SiO}_2-\text{TiO}_2$ .

$\text{SiO}_2$  در ناحیه حدود  $930-950 \text{ cm}^{-1}$  نیز دارای پیک جذبی است که به Si-OH نسبت داده شده است [۱۵] با وجود این، پیوند Si-OH پس از گرمادهی در  $600^{\circ}\text{C}$  ناپدید می‌شود، در حالی که پیک مربوط به  $\text{Ti}-\text{O}-\text{Si}$  باقی ماند، بنابراین پیک مزبور را می‌توان به پیوند TTIP نسبت داد [۱۶]. در طیف FTIR ترکیب TTIP پیک‌های موجود در نواحی  $2624$  و  $2864 \text{ cm}^{-1}$  مربوط به ارتعاش پیوندهای گروههای الکیل  $-\text{CH}_3$  و  $-\text{CH}_2-$  است [۱۴، ۱۵].

همان‌طور که مشاهده می‌شود، این پیک‌ها در طیف نمونه‌های اصلاح شده بسیار ضعیف ظاهر شده‌اند. این موضوع می‌تواند حاکی از باقی‌ماندن گروههای آلکوکسید واکنش نداده در ترکیب FTIR باشد [۱۴]. با توجه به ظهور پیک  $\text{Ti}-\text{O}-\text{Si}$  در طیف FTIR نمونه  $\text{SiO}_2-\text{TiO}_2$ ، می‌توان احتمال داد که  $\text{TiO}_2$  روی سطح سیلیکا پیوند خورده است.

در آزمون گرمایزن سنجی، تغییرات وزن نمونه آزمون در برابر تغییرات دما معنی می‌شود. با محاسبه اختلاف وزن در نمودارهای نمونه‌های اصلاح نشده و اصلاح شده، می‌توان درصد وزنی پیوند خوردن یا جذب فیزیکی ترکیب تیتاناتی را روی  $\text{SiO}_2$  به دست آورد. برای اطمینان از زدوده شدن کامل ترکیب تیتاناتی جذب سطحی شده روی نمونه‌های آزمون، شست و شوی نمونه‌ها به روش سوکسله و به مدت  $12 \text{ h}$  با اتانول انجام شد. پیش از شروع آزمون TGA و نیز برای رفع رطوبت‌های جذب شده، نمونه‌های آزمون به مدت  $3 \text{ h}$  در دمای  $100^{\circ}\text{C}$  قرار داده شد. در شکل ۲ نتایج حاصل از آزمون گرمایزن سنجی برای نانوذرات اولیه سیلیکا و ذرات اصلاح شده



شکل ۱- نتایج طیف‌سنگی FTIR نانوذرات  $\text{SiO}_2$ ,  $\text{SiO}_2-\text{TiO}_2$  و TTIP.

جدول ۳- ترکیب درصد اتمی و وزنی عناصر مختلف موجود در ذرات سیلیکای اصلاح شده و اصلاح نشده به دست آمده از روش EDAX

درصد وزنی				درصد اتمی				کد نمونه
C	Ti	O	Si	C	Ti	O	Si	
.	.	۵۵/۱۱	۴۴/۸۹	۰	۰	۶۸/۳۱	۳۱/۶۹	سیلیکا
۲/۷۹	۱۸/۰۱	۵۰/۳۸	۲۵/۱۴	۴/۸۸	۷/۸۹	۶۶/۱۱	۱۸/۷۹	$\text{SiO}_2\text{-TiO}_2$

### بررسی فعالیت نورکاتالیزوری

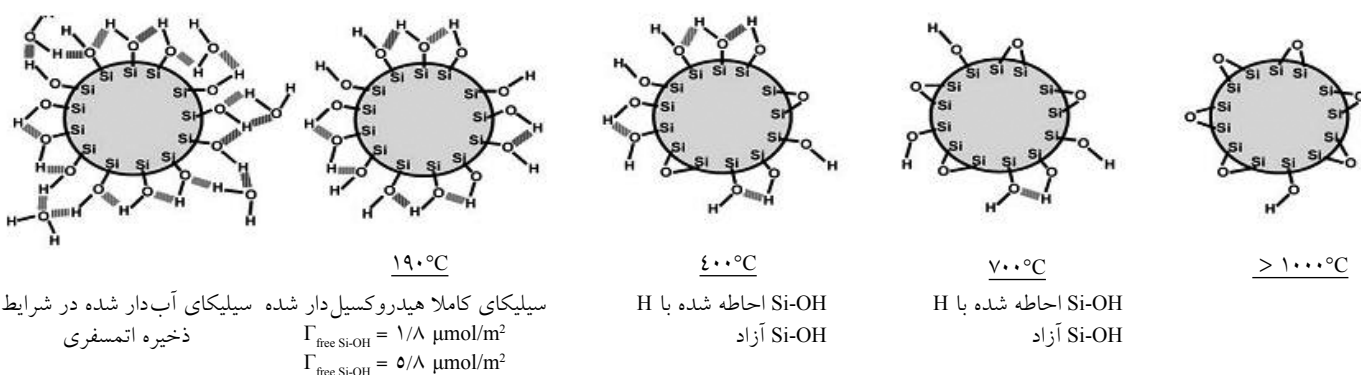
نتایج طیف‌سنجی UV-Vis پراکنش آبی نانوذرات  $\text{SiO}_2\text{-TiO}_2$  و  $\text{TiO}_2$  در شکل ۴ نشان داده است. نتایج نشان می‌دهد، جذب نانوذرات سیلیکا در ناحیه UV، حدود ۰/۱ درصد است و پس از اصلاح مقدار جذب در این ناحیه به حدود سه برابر افزایش یافته و به ۰/۳ درصد می‌رسد، اصلاح سطح نانوذرات سیلیکا با ترکیب تیناتیم، موجب تشکیل  $\text{TiO}_2$  (جذب فیزیکی یا شیمیایی) روی سطح سیلیکا شده و باعث افزایش جذب در ناحیه UV می‌شود. این موضوع می‌تواند تأییدی دیگر بر وجود  $\text{TiO}_2$  در نانوذرات اصلاح شده باشد، درحالی که مقدار جذب در ناحیه UV برای نانوذرات تیناتیم حدود ۱/۲ درصد است.

### تخرب نورکاتالیزوری ماده رنگزای رودامین B

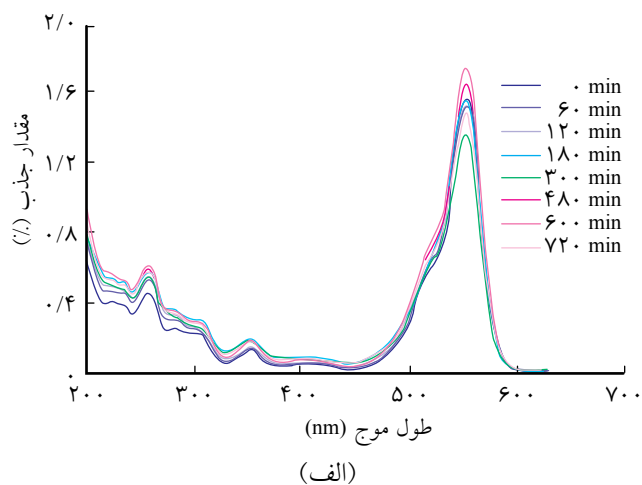
در شکل ۵، نمونه‌های آزمون در زمان‌های مختلف قرارگرفتن در معرض پرتوهای UV به طور چشمی مشاهده می‌شود. همان‌طور که دیده می‌شود، محلول حاوی نانوذرات سیلیکا هیچ تغییر رنگی در مدت زمان قرارگرفتن در برابر پرتو فرابنفش ندارد. این موضوع می‌تواند ناشی از نداشتن خاصیت نورکاتالیزوری نانوذرات سیلیکا در محلول حاوی ماده رنگرا باشد. همچنین مشاهده شد، با اصلاح سطح به وسیله ترکیب تیناتیم، ذرات سیلیکا خاصیت نورکاتالیزوری پیدا کرده و با وجود کندشدیدن روند از بین رفتار فام Rh.B نسبت به پراکنش

دانست [۱۷،۱۸]. De Farias و Airol迪 به این نتایج اشاره کردند که تنها در دماهای بیش از  $500^{\circ}\text{C}$  دی‌هیدروکسیل دار می‌شوند [۱۹]. در مطالعات Dugas نشان داده شده است که بیشتر آب جذب سطح شده در دمای حدود  $200^{\circ}\text{C}$  خارج می‌شود و فقط گروههای سیلانول در سطح باقی می‌مانند. در دمای  $450\text{--}500^{\circ}\text{C}$  با تراکم تمام سیلانول‌های مجاور یکدیگر، مولکول آب ایجاد می‌شود. در شکل ۳ رفتار هیدروکسیل‌های سطح سیلیکا با افزایش دما به‌طور نمادی نشان داده شده است [۲۰]. از نتایج به دست آمده از آزمون TGA می‌توان این گونه استباط کرد که کاهش وزن نمونه اصلاح شده، به دلیل تخریب گروههای آلكوكسید موجود روی سطح  $\text{SiO}_2$  است.

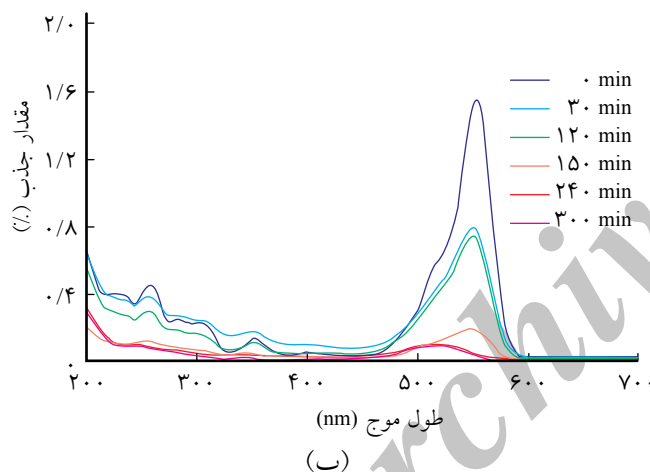
عناصر موجود در نمونه‌ها با آزمون تجزیه عنصری EDAX به روش نقشه‌برداری نقطه‌ای، شناسایی و معین شد. در جدول ۳ نتایج حاصل از این آزمون برای نمونه‌های مختلف نشان داده شده است. با توجه به اینکه سیلیکا فقط عناصر اکسیژن و سیلیسیم دارد و همچنین با درنظر گرفتن ساختار مولکولی و عناصر تشکیل‌دهنده ترکیب تیناتیم (اکسیژن، تیناتیم و کربن) وجود عناصر کربن و تیناتیم در ساختار نمونه اصلاح شده و نیز کاهش مقدار اکسیژن می‌تواند شاهدی بر وقوع واکنش اصلاح شیمیایی باشد. وجود کربن در ترکیب را می‌توان در نتیجه وجود ترکیب ایزوپروپوکسید در ترکیب تیناتیم مربوط دانست.



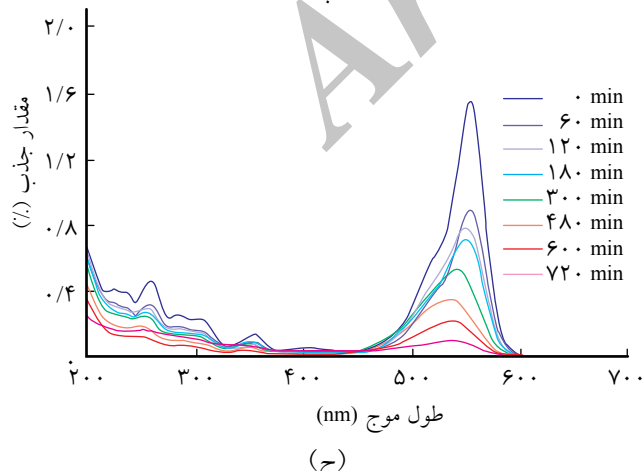
Rh.B در اثر قرارگرفتن محمولهای آبی حاوی نانوذرات پیش و پس از اصلاح سطحی در معرض پرتو فرابنفش، مقدار جذب محمولهای رنگی با استفاده از طیف نورسنج در محدوده طول موج ۲۰۰-۷۰۰ nm اندازه‌گیری شد [۲۱]. طیف جذبی پراکنش آبی حاوی ماده رنگزای



(الف)

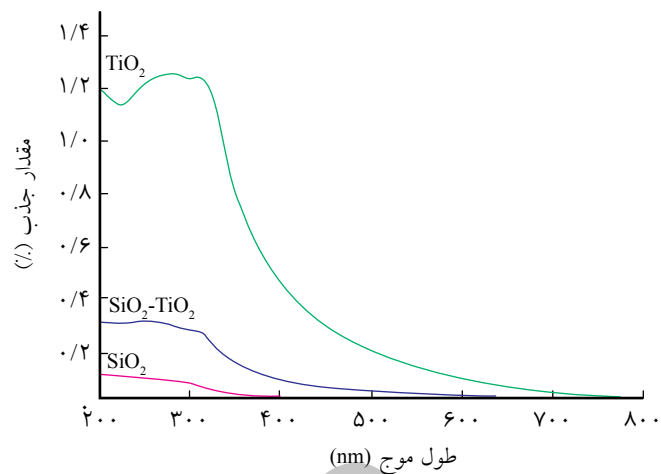


(ب)



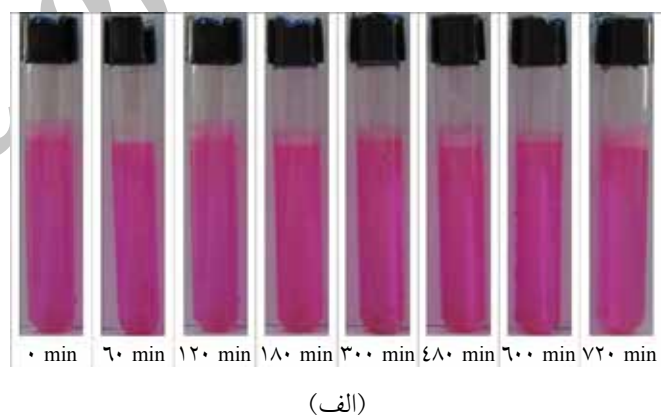
(ج)

شکل ۶- جذب محلول آبی رودامین B با وجود ذرات مختلف: (الف)  $\text{SiO}_2$ -TiO<sub>2</sub> و (ب)  $\text{TiO}_2$  و (ج)  $\text{SiO}_2$

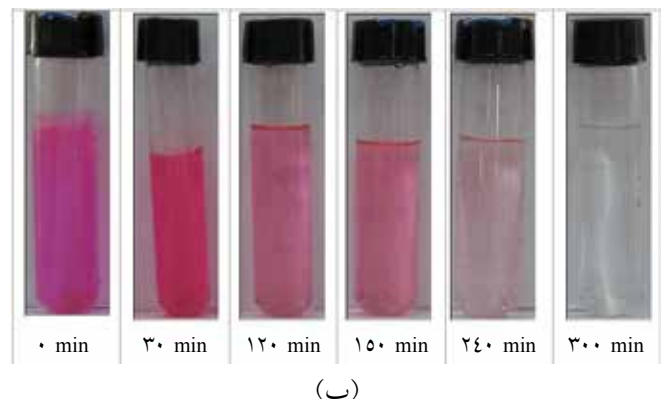


شکل ۴- طیف UV-Vis پراکنش کلوییدی نانوذرات در آب ۰.۰۲ g/L.

حاوی P25، فام صورتی پراکنش حاوی سیلیکای اصلاح شده، پس از ۷۲۰ min، تقریباً از بین رفته است. به عبارت دیگر، با انجام فرایند اصلاح سطحی نانوذرات سیلیکا با ترکیب تیتاناتی، سرعت تخریب نورکاتالیزوری ماده رنگزای Rh.B نسبت به سیلیکای اصلاح نشده افزایش می‌یابد. افزون بر این، برای بررسی کمی سرعت تغییر فام



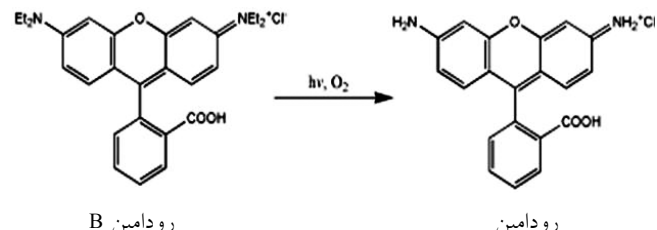
(الف)



(ب)

شکل ۵- تصاویر تغییر رنگ محلولهای آبی حاوی Rh.B و نانوذرات مختلف: (الف)  $\text{SiO}_2$ -TiO<sub>2</sub> و (ب)  $\text{TiO}_2$  در اثر قرارگرفتن در معرض تابش پرتو فرابنفش در زمانهای مختلف.

بی رنگ شدن Rh.B نشان داده شده است. برای تخریب Rh.B ابتدا پرتوهای فرابنفش به وسیله سطح  $\text{TiO}_2$  جذب سطحی شده و در اثر آن، مولکولهای  $\text{TiO}_2$  با UVA برانگیخته نوری می‌شود و جفت الکترون - حفره به وجود می‌آید. در سطح، حفره‌ها با گروه‌های هیدروکسیل متصل به سطح و مولکولهای آب، واکنش داده و رادیکالهای هیدروکسیل را به وجود می‌آورند. رادیکالهای هیدروکسی طی فرایند نورکاتالیزوری می‌توانند با ماده رنگزای Rh.B جذب سطحی شده روی سطح نانوذرات، واکنش دهند.



شکل ۷-N-اتیلن زدایی Rhodamine B به Rhodamine [۱۰].

Rh.B در معرض تابش UVA با وجود نانوذرات  $\text{SiO}_2$  و  $\text{SiO}_2\text{-TiO}_2$  در شکل ۶ نشان داده شده است.

طبق شکل ۶-الف، مقدار جذب محلولهای حاوی نانوذرات سیلیکای اصلاح نشده، تغییر قابل توجهی با افزایش زمان در معرض پرتوهای فرابنفش، نداشته است. به عبارت دیگر، فام آنها با افزایش زمان پرتودهی تغییر نمی‌کند (پیک جذب حداقل Rh.B نیز تغییر خاصی نداشته است). همان‌طورکه در شکل ۶-ب مشاهده می‌شود، مقدار جذب حداقل ماده رنگزای Rh.B (در ۵۵۴ nm) به تدریج و در معرض تابش UVA با گذشت زمان، کاهش می‌یابد که این موضوع در اثر کاهش غلظت Rh.B است [۱۰، ۲۱]. با مقایسه شکل‌های ۶-ب و ج می‌توان دریافت، با اصلاح سطحی سیلیکا با ترکیب تیتاناتی روند کاهش جذب حداقل (کاهش شدت پیک شاخص Rh.B)، در اثر کاهش غلظت و تخریب نورکاتالیزوری Rh.B (Rh.B) نسبت به مخلوط حاوی نانوذرات  $\text{TiO}_2$  کند شده است. در حقیقت، طی تابش UVA، Rh.B می‌تواند UV-Vis تبدیل به محصول واسطه‌ای شود که هیچ جذبی در ناحیه UV-Vis ندارد [۱۰، ۲۱]. همان‌طورکه در شکل ۶-ج مشاهده می‌شود، علاوه بر کاهش مقدار پیک جذب حداقل، تغییر پیک جذب حداقل به سمت ۴۹۸ nm نیز مشاهده می‌شود که به آن جایه‌جایی آبی (blue shift) هم گفته می‌شود. در این جایه‌جایی طی N-اتیلن زدایی (N-deethylation) ماده رنگزای Rh.B، به ترکیب بی‌رنگ اصلی ترین فرایند واسطه سفید‌کنندگی نوری Rh.B تبدیل می‌شود. در شکل ۷، واکنش ترکیب و

## مراجع

- Mo J., Zhang Y., Xu Q., and Zhao R., Photocatalytic Purification of Volatile Organic Compounds in Indoor air: A Literature Review, *Atmospheric Env.*, **43**, 2229-2246, 2009.
- Ting Y., Structuring and Functionalisation of Titania, PhD Thesis, Massey University, Palmerston North, New Zealand, 2008.
- Fujishima A. and Honda K., Electrochemical Photolysis of Water at a Semiconductor Electrode, *Nature*, **238**, 37-38, 1972.
- Winkler J., *Titanium Dioxide*, Vincentz Verlag, 2003.
- Parkin I.P. and Palgrave R.G., Self-cleaning Coatings, *J. Mater. Chem.*, **15**, 1689-1695, 2005.
- Bahava R., *Synthesis and Photocatalysis Study of Brookit Phase Titanium Dioxide Nanoparticles*, MSc Thesis, Clemson University, 2007.
- Hashimoto K., Irie H., and Fujishima A.,  $\text{TiO}_2$  Photocatalysis: A Historical Overview and Future Prospects, *Japan. J. Appl. Phys.*, **44**, 8269-8285, 2005.

8. Siddiquey I.A., Furusawa T., Sato M., and Honda K., Control of the Photocatalytic Activity of  $\text{TiO}_2$  Nanoparticles by Silica Coating with Polydiethoxysiloxane, *Dye. Pigm.*, **76**, 754-775, 2008.
9. Siddiquey I.A., Ukaji E., and Furusawa T., The Effects of Organic Surface Treatment by Methacryloxypropyltrimethoxysilane on the Photostability of  $\text{TiO}_2$ , *Mater. Chem. Phys.*, **105**, 162-168, 2007.
10. Pazokifard S., Mirabedini S.M., Esfandeh M., Mohseni M., and Ranjbar Z., Silane grafting of  $\text{TiO}_2$  Nanoparticles: Dispersibility and Photoactivity in Aqueous Solutions, *Surf. Interface Anal.*, **44**, 41-47, 2012.
11. Mirabedini A., Mirabedini S.M., Babalou A.A., and Pazokifard S., Synthesis, Characterization and Enhanced Photocatalytic Activity of  $\text{TiO}_2/\text{SiO}_2$  Nanocomposite in an Aqueous Solution and Acrylic-based Coatings, *Prog. Org. Coat.*, **72**, 453– 460, 2011.
12. Sabzi M., Mirabedini S.M., Zohuriaan-Mehr J., and Atai M., Surface Modification of  $\text{TiO}_2$  Nano-particles with Silane Coupling Agent and Investigation of its Effect on the Properties of Polyurethane Composite Coating, *Prog. Org. Coat.*, **65**, 222–228, 2009.
13. Mazaheri L., Mirabedini S.M., Esfandeh M., and Pazokifard S., Preparation and Photocatalytic Characterization of  $\text{TiO}_2\text{-SiO}_2$  Nanocomposite, *4th International Color and Coatings Congress (ICCC 2011)*, Tehran, Iran, November 22-24, 2011.
14. Burgos, M. and Langlet M., The Sol-Gel Transformation of TIPT Coatings: A FTIR Study, *Thin Solid Films*, **349**, 19-23, 1999.
15. Zeitler V.A. and Brown C.A., The Infrared Spectra of Some  $\text{Ti-O-Si}$ ,  $\text{Ti-O-Ti}$  and  $\text{Si-O-Si}$  Compounds, *J. Phys. Chem.*, **61**, 1174-1177, 1957.
16. Lidén E., Bergström L., Persson M., and Carlsson R., Surface Modification and Dispersion of Silicon Nitride and Silicon Carbide Powders, *J. Eur. Ceramic Soc.*, **7**, 361-368, 1991.
17. Zhao L., Yu J., and Cheng B., Preparation and Characterization of  $\text{SiO}_2/\text{TiO}_2$  Composite Microspheres with Microporous  $\text{SiO}_2$  Core/Mesoporous  $\text{TiO}_2$  Shell, *J. Solid State Chem.*, **178**, 1818-1824, 2005.
18. Lee J.W., Hong K., Kim W.S., and Kim J., Effect of HPC Concentration and Ultrasonic Dispersion on the Morphology of Titania-Coated Silica Particles, *J. Ind. Eng. Chem.*, **11**, 609-614, 2005.
19. Ek S., Determination of the Hydroxyl Group Content in Silica by Thermogravimetry and a Comparison with  $^1\text{H}$  MAS NMR Results, *Thermochimica Acta*, **379**, 201-212, 2001.
20. Dugas V. and Chevalier Y., Surface Hydroxylation and Silane Grafting on Fumed and Thermal Silica, *J. Colloid Interface Sci.*, **264**, 354-361, 2003.
21. Wilhelm P. and Stephan D., Photodegradation of Rhodamine B in Aqueous Solution via  $\text{SiO}_2@\text{TiO}_2$  Nano-spheres, *J. Photochem. Photobiol. A: Chem.*, **185**, 19-25, 2007.

## Surface Modification of Silica Nanoparticles with Titanium Tetraisopropoxide and Evaluation of their Photocatalytic Activity

Leila Mazaheri, Sayed Mojtaba Mirabedini\*, Masoud Esfandeh, and  
Shahla Pazokifard

Iran Polymer and Petrochemical Institute, P.O. Box: 14965-115, Tehran, Iran

Received 12 February 2012, accepted 1 August 2012

### ABSTRACT

Silica nanoparticles were modified with titanium tetraisopropoxide (TTIP) via a two-step sol-gel route. The modified silica nanoparticles were characterized using FTIR spectroscopy, thermal gravimetric analysis (TGA) and EDAX elemental analysis. Photocatalytic activity of the modified nanocomposites was evaluated by photo-activated degradation of Rhodamine B (Rh.B) dyestuff, as a colorant model, in distilled water. Reduction in Rh.B concentration in aqueous solution was evaluated by UV-visible spectroscopy and with the aid of visual observations. The FTIR spectroscopy results confirmed the formation of Ti-O-Si chemical bond on the surface of silica nanoparticles. TGA test results showed that the weight loss of the modified sample is due to deterioration of the alkoxy groups of the SiO<sub>2</sub> surface. According to the results of EDAX elemental analysis, the presence of carbon and titanium in the structure of the modified samples and also reduction in oxygen levels are attributed to the chemical interactions due to surface chemical modification. Carbon detection in the composition can be attributed to the presence of isopropoxide in titanium tetraisopropoxide compound. The results also revealed that, with TiO<sub>2</sub> grafting on the silica nanoparticles surface, absorption in UV region is increased and that the silica nanoparticles modified with titanate compound show photocatalytic characteristics and degradation ability of Rh.B dyestuff under UV light irradiation. It became also evident that the photocatalytic activity of the modified nanoparticles is less than TiO<sub>2</sub> nanoparticles. However, by inclusion of modified silica nanoparticles into the polymeric coating, the photocatalytic properties of the coating can be established. Although modified silica nanoparticles have less photocatalytic activity compared to TiO<sub>2</sub> nanoparticles, but they cause less damage to the polymer matrix.

### Keywords:

silica nanoparticles,  
photocatalytic activity,  
titanium dioxide,  
surface modification,  
Rhodamine B.

(\*)To whom correspondence should be addressed.  
E-mail: sm.mirabedini@ippi.ac.ir